

電力中央研究所 正会員 和田 明
同上 正会員 ○角湯正剛

1. はじめに

沿岸海域における拡散過程に及ぼす流れの影響を考える場合、それを取り上げる問題の時間・空間スケールにより流れと拡散を区別しなければならない。たとえば、発電所からの温排水拡散の短時間の変化を問題にする時には、潮流は流れとしてみなされながら、放射性廃棄物の拡散のように長時間の変化を問題にする時には、流れといつよりもむしろ大きさをスケールの端として考慮するべきと考えられる。

本研究においては、筆者らが行なった本邦沿岸各地の流れの実測結果をもとに、流れの特性と 1. ランダム過程の卓越する流れの海域、2. 周潮流の卓越する海域に分類し、2. の周潮流の卓越する海域について、流速分布と変化させた場合の拡散分布について、若干検討を加えた。

2. 本邦沿岸各地の流れの特性

一般に、海域における流れの特性は、乱流速度の自己相関関数の形に明瞭に表わされる。自己相関関数 $R(z)$ とは次式で表わされる。

$$R(z) = \lim_{T \rightarrow \infty} \frac{1}{T} \int_{-\frac{T}{2}}^{\frac{T}{2}} X(t) X(t+z) dt \quad (1)$$

ここで $X(t)$: 時刻 t により定まる変数

定期ランダムプロセスにおいては、下記の条件が満足される。

$$R(z) = R_0(z) + K_r(z) \quad (2)$$

ここで $R_0(z)$: 周期的なプロセスの自己相関関数、 $K_r(z)$: ランダムなプロセスの自己相関関数

また、乱流速度の重要なモードの特性は、そのエネルギー一人マツトル関数 $F_f(z)$ である。エネルギー・ペクトル関数は成分 i について次式で表わされる。

$$F_f(z) = 4 \int_0^\infty K_u(z) \cos 2\pi f z \cdot dz \quad (3)$$

いま自己相関係数を以下に示す 2 の式により近似されるものとする。

(i) 指数関数的に減衰する関数: $R_E(z) = \exp(-\alpha_E z)$ (4)

(ii) 指数関数的に減衰する余弦関数: $R_E(z) = \exp(-\beta_E z) \cos \gamma_E z$ (5)

エネルギー・ペクトルは、オイラー速度についての式(3)により次のようになる。

$$(i) \text{の型 } F_f = \frac{4 \alpha_E}{\alpha_E^2 + 4 \pi^2 f^2} \quad (6) \quad (ii) \text{の型 } F_f = 2 \beta_E \left\{ \frac{1}{\beta_E^2 + (\gamma_E + 2\pi f)^2} + \frac{1}{\beta_E^2 + (\gamma_E - 2\pi f)^2} \right\} \quad (7)$$

式(6), (7) より (i) の型の自己相関についてとは、近似的に周波数の上昇で乱流エネルギーの減少がみられ、(ii) の型に対しては、およそ $\gamma_E = 2\pi f$ により与えられる周波数で最大値を示す。

本邦沿岸各地における水平方向の乱流の特性を把握するために、流れの長期間連続観測を実施した。日本海、太平洋、瀬戸内海の各沿岸海域における代表的な地図の速度記録に基づいて自己相関係数を

計算した。図-1に沿岸に平行な方向の流れの自己相関係数を示す。日本海側、太平洋側の流れには(1)の型のランダムな流れがあり、瀬戸内海の流れには(2)は(3)の型の周潮流の卓越する流れである。また(1)の型でも、日本海側と太平洋側を比較すると、日本海側の方が太平洋側より遅れ時間で小さな所で大きな相関係数の値を示す。これは観測した季節が異なるために一概には説明できないが、流れの時間スケールが太平洋側に比べて日本海側の方が大きいためである。周潮流の卓越する(3)の型にも2つの型があり、一つは図-1の(3)のように12時間、24時間と同じ振幅をもつもの、他の一つは(4)のように12時間では小さいが、24時間では(3)と同程度の大きな相関係数を示すものである。前者は半日周潮流のみ卓越する海域で、主に瀬戸内海の中央部より西の海域でみられる。後者は半日周潮流と同程度に日周潮流も卓越する海域で、播磨灘、大坂湾にみられる。周期的な往復流は、その流域より外側の領域に対することは混合ともいえないから、この変動速度は拡散に対しても除外する必要がある。そこで半日周潮流および日周潮流を乗ずるより除去して自己相関係数を計算したのが図-2である。(3), (4)とも卓越した周潮流成分を除去した後の流速変動については、短い遅れ時間で相関係数は零となり、ランダムな流れの様相を示す。

次に図-1の相関係数により計算したエネルギースペクトルを図-3に示す。これよりわかるように、流れの基本的なエネルギーは半日周潮流より低周波領域、つまり大規模な変動の部分に集中している。また、瀬戸内海沿岸のデータには(1)は、12, 24時間の周期のところがピークをもち、この周期の卓越しているのが認められるが、日本海側、太平洋側のデータについては、低周波数から高周波数領域に単調に減衰する傾向を示す。日本海側のデータを除いて、2時間以下の周期の分布ではエネルギースペクトルの分布はほぼ同一の値を示し、それそれのスペクトルは周波数についての乱流相似理論による $-5/3$ 乗則を近似的に満足している。

3. 沿岸に平行な流れがある場合の拡散予測

沿岸における魔水の拡散分布を予測する上、流れの影響と検討するためには、その検討対象地帯の流れの特性を把握する必要がある。前項で述べたように、本邦沿岸海域では多くの拡散形態が認め

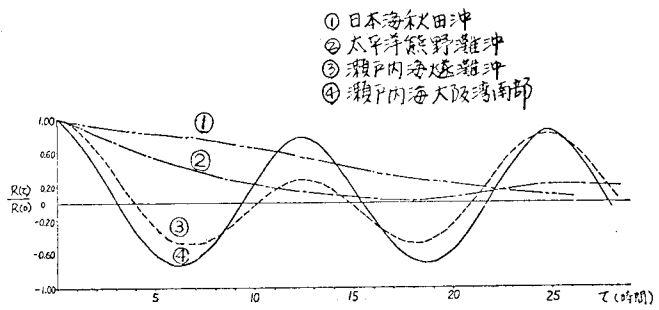


図-1 本邦各地沿岸における自己相関係数

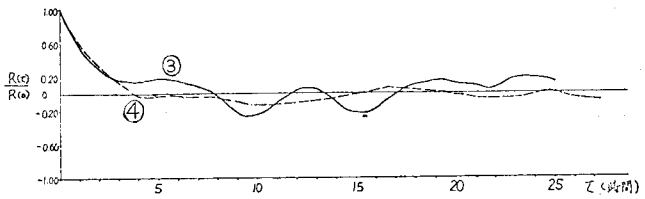


図-2 周期成分を除去したdataにおける自己相関係数

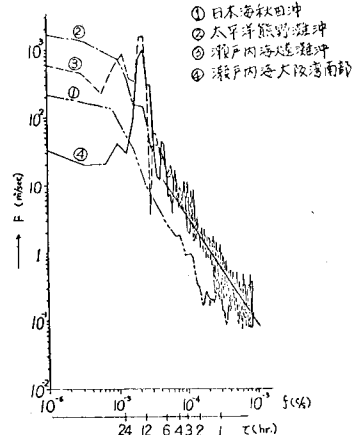


図-3 本邦各地沿岸におけるエネルギースペクトル

うれる。その一つはランダムな過程の卓越している流れの場であり、他の一つは、任意の周期の振動を有する往復流である。前者については、すでに筆者らが定常二次元解析により、平均的なパタンとして拡散分布を求めている¹⁾。本文においては、後者の周潮流の卓越する場合にハーコ流速分布の異なる3つの型にハーコ、拡散分布の計算を行ない、拡散分布に与える流れの影響の検討を行なった。

(I) 基本方程式

排水がある一定の水深を保持して流れると仮定した場合、慣性項を無視した平面状二次元の運動方程式は次式で表わされる。

運動方程式

$$\frac{\partial}{\partial x} (A_x \frac{\partial u}{\partial x}) + \frac{\partial}{\partial y} (A_y \frac{\partial u}{\partial y}) = \frac{\partial P}{\partial x} \quad (8)$$

$$\frac{\partial}{\partial x} (A_x \frac{\partial v}{\partial x}) + \frac{\partial}{\partial y} (A_y \frac{\partial v}{\partial y}) = \frac{\partial P}{\partial y} \quad (9)$$

連続方程式

$$\frac{\partial u}{\partial x} + \frac{\partial v}{\partial y} = 0 \quad (10)$$

海面からの熱損失（または獲得）を考慮した熱拡散方程式は次式で表わされる。

$$\frac{\partial T}{\partial t} + u \frac{\partial T}{\partial x} + v \frac{\partial T}{\partial y} = \frac{\partial}{\partial x} (K_x \frac{\partial T}{\partial x}) + \frac{\partial}{\partial y} (K_y \frac{\partial T}{\partial y}) + \frac{Q_0 - Q_1 T}{C_p H_w} \quad (11)$$

ここに u, v : x, y 方向の流速, A_x, A_y : x, y 方向の渦動粘性係数, P : 圧力, T : 水温
 K_x, K_y : 渦動拡散係数, Q_0, Q_1 : 大気への熱放散に関する定数, C , ρ : 海水の比熱, 密度, H_w : 排水の含み水の厚さ

(II) 計算条件

数値計算のための境界条件は次のようになされた。

(i)右岸に垂直方向の熱匀配はないものとする。 (ii) 枝木口出口の水温は1.0とする。

(iii)右岸上の境界は、半無限領域中の十分遠方のところに設置した。

(iv)計算領域の境界上の条件としては、潮流の方向を変え、潮流が入、出する場合には $T = T_s$ (T_s : 環境水温), 出入する場合には, $\partial T / \partial s^2 = 0$ (s : 距離) にとした。

計算領域としては、直線上の海岸線を考え、枝木口を中心にして左右それぞれ4km, 中合3kmとした。

そして潮流としては、半日周潮流と仮定し、流速分布として

は、図-4に示すように、① 海岸から中合まで一様な流れを示す場合(CASE 1), ② 中合1km以遠は一様流れあるが、そこから海岸線では対数分布とする流れの場合(CASE 2), ③ 右岸に平行な流れの成分は②と同じく、潮流構造に基づく沿岸に直角な方向の流れの成分をもつ流れの場合(CASE 3) の3種類に分類し、一潮流時間にハーコ拡散分布と求められたと行なった。①の流れは直線的で海岸線が、

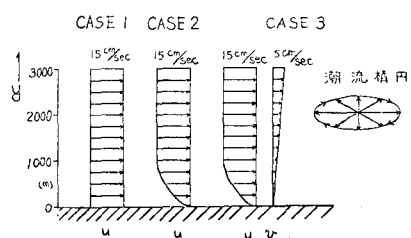


図-4 潮流モデル

岸近くでもかなりの水深を有する地形付近の流れであり、②の流れは凹状の海岸線の地形、または、遠浅の海岸付近における流れの場合である。①、②はともに潮流槽円が扁平で、沿岸に直角な方向の周期的流れが無視できる場合であり、③の流れは、②の地形で、沿岸に直角な方向の周期的流れが無視できない場合である。

(四) 計算結果

CASE 1, 2, 3について、一潮時間計算した結果を図-5に示す。図中の X , Y 軸は放水口の巾で除して無次元化した。流量 Q はそのため、 $Q = V_0 \cdot H \cdot B$ (V_0 : 放流速, H : 放水口の高さ) で表され、 $V_0 = 0.5 \text{ m/sec}$, $H = 3 \text{ m}$ となっている。また図中の線は $(T - T_s)/(T_0 - T_s) = 0.2$ (T_0 : 放水温) の範囲を示す。図より CASE 1, 2, 3とも木温上昇範囲は潮流と同じ位相で変化する。CASE 1, 2 には X/B は、沿岸に直角な方向の距離 X の変化はないが、CASE 3には X/B は、満潮時の海岸に近く、干潮時は右岸から遠くに木温上昇範囲が表われている。また、上昇範囲の形状としては、CASE 1 では海岸線が最も左右に広がっていながら、CASE 2, 3 では $Y/B = 15$ 附近で左右の広がりが最大となる。図-6は同じ位相における上昇範囲と比較したものであるが、流れの影響が明瞭に確認される。それ故、排水による拡散分布の予測を行なう場合、対象地の流れの特性を実測等により十分把握しなければならない。

—— 上げ潮最強流速時
- - - 満潮時
- - - 下げ潮最強流速時
- - - 干潮時

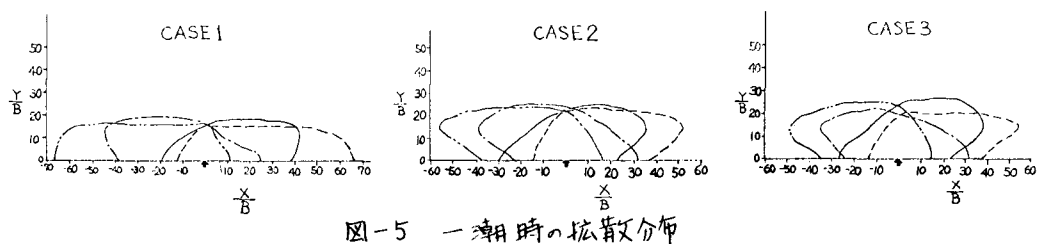


図-5 一潮時の拡散分布

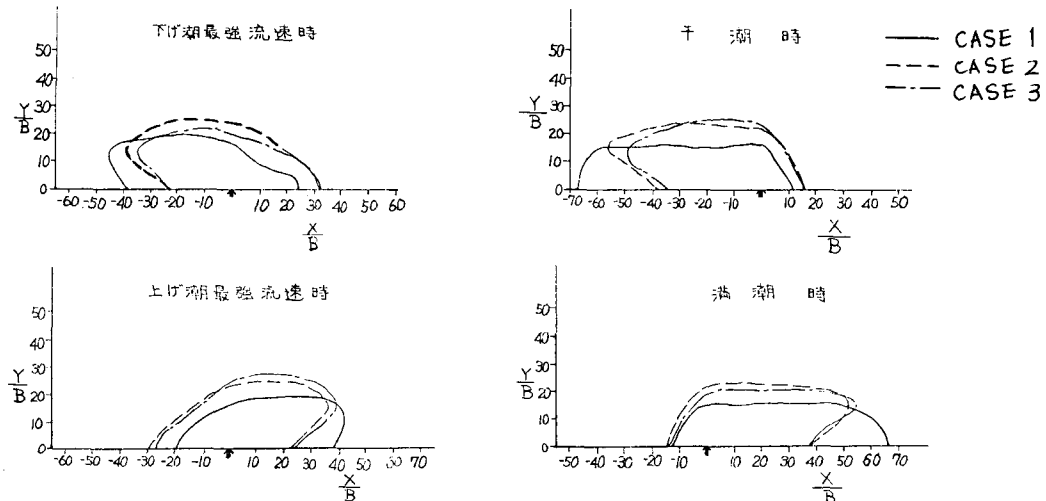


図-6 同位相における拡散分布

参考文献：1) 和田・片野：海域での物質拡散に及ぼす流れの影響、第18回海岸工学講演会講演集。